

# 约束数据库中的索引<sup>\*</sup>

王宇君 田增平 曲云尧 施伯乐

(复旦大学计算机系 上海 200433)

**摘要** 本文研究了约束数据库中的索引技术,提出了存储区间常数刺穿集的数据结构 S 树和 S\* 树.在刺穿集的最大长度受到限制的条件下,S\* 树存储效率是最优的.与 M 树相比,S 树和 S\* 树有一个明显的改进:可以支持删除操作.

**关键词** 约束数据库,索引,B+树,动态区间管理.

**中图法分类号** TP391

约束数据库是 Kanellakis 等在文献[1]中提出的一种新的数据模型.由于它能对时空数据进行统一的表示,且有较好的数学背景,因此近年来受到了数据库研究者的广泛关注.但总的说来对其研究还很不完善.如约束数据库的物理组织,目前仅限于讨论索引的数据结构及算法,主要的研究成果有文献[2]中提出的 Meta-block Tree(简称 M 树).在不考虑插入删除时,M 树的存储和查询效率是最优的,即有类似关系数据库中 B+树的性能.但 M 树数据结构复杂,而且不支持删除操作.

我们考虑直接存储刺穿集来提高算法性能,关于刺穿集下面将会介绍.其它约束数据库中的基本概念,参见文献[1,3].我们提出了 S\* 树的数据结构,基本思想是存储区间常数的刺穿集,但限制刺穿集最大深度,且减少所存刺穿集的个数.以期针对实际中使用的约束的特点,获得较好的存储效率.同时 S\* 树的有关查询、插入及删除的算法性能也较好.

本文第 1 节介绍约束数据库中的索引的特点;第 2 节介绍 S 树;第 3 节介绍 S\* 树;最后是结论.

## 1 约束数据库中索引的特点

设  $R$  为变量集  $X$  上的约束关系, $D$  为论域, $x \in X$ , $R$  在  $x$  上的 1 维索引有如下特点:

(1) 该索引是对一组区间在辅存的管理.其中每个区间对应  $R$  中一个约束元组.它是该约束元组在  $x$  上的投影.由于约束  $k$  元组在  $D^k$  空间中对应的点集是一个凸集,因此它在  $x$  上的投影是一个区间.若投影结果不是闭区间,约定增加端点的值将其扩充为闭区间.

\* 本文研究得到国家自然科学基金资助.作者王宇君,1970年生,博士,主要研究领域为约束数据库.田增平,1968年生,博士,主要研究领域为多媒体数据库.曲云尧,1961年生,博士,副教授,主要研究领域为面向对象数据库.施伯乐,1935年生,教授,博士生导师,主要研究领域为数据库理论及应用.

本文通讯联系人:王宇君,上海 200433,复旦大学计算机系

本文 1997-01-22 收到修改稿

(2) 约束数据库在变量  $x$  上的 1 维范围查询,指对给定的变量  $x$  上的待查询范围  $[L, U]$ , 查询满足  $(L \leq x \leq U)$  的区间的集合.

(3) 满足查询的区间共有 4 种可能,如图 1(a),其中 1、2 两种情形是容易找到的.因为此时左端点的值都在  $L$  和  $U$  之间,易知只需对所有的区间按它们的左端点的值依次排列,通过使用 B+树即可做到.其中 3、4 两种情形我们称为刺穿查询.对它的处理是整个查询能否有效完成的关键.如图 1(b)所示,区间的 4 种情形对应 4 个区域,其中刺穿查询对应左下角为  $(L, L)$ 、标记为 3、4 的对角区域,因此区间管理可看成是关系数据库中 2 维范围搜索的特例.

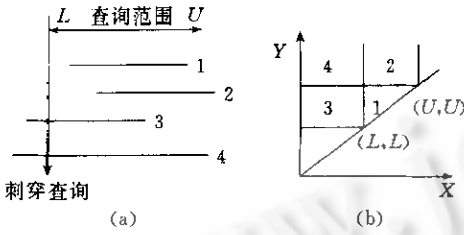


图1

(4) 插入或删除一个约束元组,需要在索引中相应插入或删除一个区间.

定义 1. 约束关系  $R$  的索引区间集是  $R$  对应的 3 元组的集合  $\{[i, L, U]\}$ , 其中  $[i, L, U]$  含义为标识为  $i$  的约束元组对应的待索引的区间为  $[L, U]$ .

定义 2. 设  $R$  的索引区间集为  $T$ , 约束关系  $R$  的区间常数集为  $\{U | [i, L, U] \in T\} \cup \{L | [i, L, U] \in T\}$ .

定义 3. 设  $R$  的索引区间集为  $T$ , 常数  $c$  的起始集为  $\{[i, L, U] | [i, L, U] \in T \text{ 且 } L=c\}$ .

定义 4. 设  $R$  的索引区间集为  $T$ , 常数  $c$  的刺穿集为  $\{[i, L, U] | [i, L, U] \in T \text{ 且 } L < c \leq U\}$ .

## 2 S 树

### 2.1 S 树的数据结构

S 树可分为 3 部分. ① 一棵 B+树, 存储关系  $R$  的区间常数集. 叶子上的每个数据项对应关系  $R$  中一个区间常数; ② B+树叶子上的每个区间常数对应的一个线性表, 记录该常数的起始集; ③ 每个区间常数对应的一个线性表, 记录该常数的刺穿集.

为考虑 S 树的存储性能, 我们定义重叠度  $k$  的概念. 直观地说, 重叠度是所有区间常数的刺穿集的平均大小.

定义 5. 设关系  $R$  的区间常数集大小为  $n_a$ , 又设每个区间常数对应的刺穿集为  $S_i, 1 \leq i \leq n_a, S_i$  的大小为  $|S_i|$ , 则重叠度  $k$  为:  $k = (\sum_{1 \leq i \leq n_a} |S_i|) / n_a$ .

S 树的三部分空间开销分别为  $O(n_a/B), O(n/B)$  及  $O((n_a * k)/B)$ . 在重叠度不超过某个常数时, 存储的效率为  $O(n/B)$ . 然而重叠度最坏时可能与数据库的大小的增长成正比, 这时 S 树的存储效率为  $O(n_a * n/B)$ .

### 2.2 S 树的 1 维范围搜索

对给定的待查询范围区间  $[L, U]$ , 它对前述 B+树使用约  $\log_B(n_a)$  次辅存访问, 便可找到满足如下条件的  $L_a: L_a$  为大于等于  $L$  的最小的常数. 显然若  $L_a \leq U$ , 则  $L_a$  的刺穿集都满足条件. 从  $L_a$  至  $U$  的每个常数对应的起始集也都满足条件. 而其它则不满足条件. 对刺穿集和起始集的访问的全体正好构成  $t$  个查询输出结果, 访问辅存  $O(t/B)$  次, 故总的访问次

数最坏时为  $O(\log_B n_a + t/B)$  次,且系数接近 1.

### 2.3 S 树的区间插入

设待插入区间为  $[i, L, U]$ . 先在 B+ 树中搜索  $L$ . 若找不到, 则在该 B+ 树中插入数据项  $L$ , 并初始化  $L$  的起始集为空, 刺穿集为 B+ 树叶子中的  $L$  的下一数据项对应的刺穿集的复制. 类似地, 若 B+ 树中找不到数据项  $U$ , 则插入  $U$  并作初始化. 在  $L$  的起始集中增加  $[i, L, U]$ , 并从  $L$  的下一数据项开始, 依次考虑每个数据项  $Z$  直至  $Z > U$ , 在  $Z$  的刺穿集中增加  $[i, L, U]$ .

### 2.4 S 树的区间删除

设待删除区间为  $[i, L, U]$ . 在 B+ 树中搜索  $L$ , 若找不到则返回. 否则在  $L$  的起始集中搜索区间  $[i, L, U]$ , 若找不到则返回. 否则在  $L$  的起始集中删除区间  $[i, L, U]$ , 并从  $L$  的下一个数据项开始, 对每个小于等于  $U$  的数据项  $Z$ , 在  $Z$  的刺穿集中删除区间  $[i, L, U]$ . 若  $L$  (或  $U$ ) 的起始集和刺穿集都为空, 则在 B+ 树中删去  $L$  (或  $U$ ).

## 3 S 树的改进 S\* 树

分析实际中使用的约束集对应的区间, 可以看到, 对大部分区间来说, 和它相交的区间集的大小远远小于数据库的大小. 基于这样的事实, 我们提出 S 树的改进 S\* 树.

### 3.1 S\* 树的数据结构

S\* 树对 S 树进行了 3 方面的改进: ①限制了刺穿集的最大长度  $\omega$ ; ②将起始集与存储常数的 B+ 树合二为一; ③每个 B+ 树的叶子结点只有第 1 个区间左端点的刺穿集才得以存储. 这样存储效率是最优的. 插入、删除性能也较 S 树更好. 付出的代价是, 最坏情况时查询效率下降.

S\* 树可分为两部分. 第 1 部分是一棵 B+ 树, 存储所有区间. 第 2 部分是该 B+ 树每个叶子结点的第 1 个区间的左端点对应的一个线性表, 它记录该常数值对应的刺穿集. 我们称该常数为该叶子结点的刺穿常数, 称该刺穿集为该叶子结点的刺穿集.

由于并入了起始集, 在 S\* 树的 B+ 树中, 用来作为查找条件的值仅有一个常数是足够的, 区间的两个端点的值都需参加比较. 我们定义区间的先后次序比较规则: 先比较左端点的值, 若相等再比较右端点的值. 由于限制了刺穿集的最大长度  $\omega$ , 故约定: 刺穿集的区间也根据上述比较规则按先后次序排列. 超过  $\omega$  后的区间在刺穿集中不再保存.

### 3.2 S\* 树的 1 维范围查询

#### 算法 1. Range\_Search

输入: 待查询范围区间  $[L, U]$  及 S\* 树

输出: 与  $[L, U]$  相交非空的区间的集合

步骤 1. 在 B+ 树中查找区间  $[L, U]$  直至叶子结点  $N$ ,  $N$  的刺穿常数为  $L_n$ ,  $N$  的刺穿集大小为  $s$ .

步骤 2. 对  $N$  的刺穿集中的每一区间  $[j, L_j, U_j]$ , 若  $L \leq U_j$ , 则输出该数据项;

步骤 3. 若  $s = \omega$ , 设  $L_n$  的刺穿集最后一项为  $[m, L_m, U_m]$ , 则搜索  $[m, L_m, U_m]$ , 并从  $[m, L_m, U_m]$  的下一数据项开始. 依次考虑  $[j, L_j, U_j]$  直至到达  $N$ , 若  $L \leq U_j$ , 则输出该数据项;

步骤 4. 从  $N$  的第 1 个数据项开始, 依次考虑  $[j, L_j, U_j]$ , 若  $L_j > U$ , 则返回. 否则, 若  $L_j \leq L \leq U_j$ , 则输出该数据项.

对给定的待查询范围区间  $[L, U]$ , 步骤 1 需约  $\log_B n$  次辅存访问. 若  $N$  的刺穿集大小不到  $\omega$ , 则对刺穿集和起始集的访问的全体正好构成  $t$  个查询输出结果, 访问辅存  $O(t/B)$  次, 故最坏时总的访问次数为  $O(\log_B n + t/B)$  次, 且系数接近 1. 因而性能非常好. 若  $L_n$  的刺穿

集大小为  $\omega$ , 则需多执行步骤 3, 这时算法的最坏性能为  $O(n/B)$ .

### 3.3 S\* 树的区间插入

#### 算法 2. Insert-Interval

输入: 待插入的区间  $[i, L, U]$  及  $S^*$  树

输出: 修改后的  $S^*$  树

步骤 1. 在  $B+$  树中搜索  $[i, L, U]$ , 若找不到, 则在该  $B+$  树中插入数据项  $[i, L, U]$ ;

步骤 2. 若  $[i, L, U]$  插入后没有新叶子结点产生, 则转至步骤 5;

步骤 3. 否则设结点  $N$  分裂为新的叶子结点  $N_1$  及  $N_2$ , 设  $N_2$  的首项为  $[k, X, Y]$ , 则  $N_2$  的刺穿常数为  $X$ . 通过访问结点  $N_1$  及其刺穿集, 初始设置  $N_2$  的刺穿集;

步骤 4. 若  $N_1$  的刺穿集大小为  $\omega$ , 最后项为  $[m, L_m, U_m]$ , 而  $N_2$  的刺穿集大小不到  $\omega$ . 则搜索  $[m, L_m, U_m]$ , 并从  $[m, L_m, U_m]$  的下一数据项开始, 依次考虑  $[j, L_j, U_j]$  直至  $[k, X, Y]$  或  $N_2$  的刺穿集大小为  $\omega$ , 若  $U_j \geq X$ , 则将该数据项加至  $N_2$  的刺穿集;

步骤 5. 从  $[i, L, U]$  所在叶子结点的下一结点开始, 对每个刺穿常数  $Z$  小于等于  $U$  的叶子结点, 将  $[i, L, U]$  插入  $Z$  的刺穿集, 这是有序表的插入.

### 3.4 S\* 树的区间删除

#### 算法 3. Delete-Interval

输入: 待删除的区间  $[i, L, U]$  及  $S^*$  树

输出: 修改后的  $S^*$  树

步骤 1. 树的  $B+$  树中搜索区间  $[i, L, U]$ . 若找不到, 则返回;

步骤 2. 否则删除区间  $[i, L, U]$ , 设原  $[i, L, U]$  的下一数据项为  $[k, X, Y]$ ;

步骤 3. 若删除区间后导致了叶子结点的合并, 则删去一个相应的刺穿集;

步骤 4. 从区间  $[k, X, Y]$  的下一个叶子结点开始, 依次考虑每个叶子结点  $N$ . 若其刺穿常数  $Z > Y$ , 则返回; 否则在  $N$  的刺穿集中删除  $[i, L, U]$ , 并执行步骤 5;

步骤 5. 若删除前  $N$  的刺穿集是满的, 设刺穿集的最后项为  $[m, L_m, U_m]$ , 则搜索  $[m, L_m, U_m]$ , 并从  $[m, L_m, U_m]$  的下一项开始, 依次考虑  $[j, L_j, U_j]$  直至结点  $N$ , 若  $Z \leq U_j$ , 则将该数据项加至  $N$  的刺穿集, 并返回步骤 4.

在步骤 5 中, 访问的  $[j, L_j, U_j]$  一定出现在步骤 4 中已访问过的叶子结点中. 通过优化, 可进一步减少 I/O 次数.

### 3.5 刺穿集深度的动态适应

当重叠度  $k$  接近或超过  $\omega$  时, 对大多数查询来说, 都必须往回搜索, 这样查询效率将下降, 为使  $S^*$  树能适应这种变化, 可通过适当修改上述算法使之能动态修改参数  $\omega$ . 由于  $\omega$  一般为内外存交换单位  $B$  的整数倍, 因此可通过对  $\omega$  增加或减少  $B$  来实现. 同时, 不同的叶子结点的刺穿集的最大长度也可以不同. 这样可最大限度地平衡时间和空间开销. 这也是  $S^*$  树的灵活性的一种体现.

## 4 结论

约束数据模型是关系数据模型的推广, 它允许把约束的合取式作为约束元组存储, 使得无限信息能得以精确描述, 特别适合空间数据、时态数据等的表示. 索引技术的研究使得相应查询的求值可得到更为一般的优化. 现有的研究主要有  $M$  树<sup>[2]</sup>, 它分析了约束数据库中索引的特点, 并提出了  $M$  树的数据结构, 但不支持删除. 本文从另一个角度提出了  $S$  树、 $S^*$  树的概念. 它们支持删除.  $S^*$  树在重叠率  $k$  不超过某常数时, 表现出良好的性能. 若允许对刺穿集的深度作动态调整, 则在重叠率变化时, 表现出对时间和空间开销的良好动态平衡.

未来的工作有: 结合约束数据库的实现及在 GIS 等中的应用, 对  $S^*$  树作进一步的改进.

### 参考文献

- 1 Kanellakis Paris C, Kuper Gabriel M, Revesz Peter Z. Constraint query languages. JCSS 51. 1995.
- 2 Kanellakis Paris C, Ramaswamy Sridhar, Vengroff Darren et al. Indexing for data models with constraints and

classes. PODS 93.

- 3 王宇君. 约束数据库: 模式设计, 代数查询语言及索引[博士论文]. 复旦大学, 1996.

## INDEXING FOR CONSTRAINT DATABASES

WANG Yujun TIAN Zengping QU Yunyao SHI Baile

*(Department of Computer Science Fudan University Shanghai 200433)*

**Abstract** In this paper, the indexing in constraint databases is considered. Meta-block tree is improved and a data structure  $S^*$  tree is presented. It stores the stabbing sets for constants that appears in the intervals. If the maximum length of each stabbing set is limited, the space used in  $S^*$  tree is optimal. Compared with M tree, a significant improvement of  $S^*$  is that it can support delete operation.

**Key words** Constraint databases, index, B+tree, dynamic interval management.

**Class number** TP391